



Contrôle optimal numérique appliqué au trafic routier

CANUM

Mickaël Bestard

14.06.2022

Overview

1. Introduction
2. Un modèle contrôlé de trafic routier
3. Analyse du problème de Contrôle Optimal
4. Méthodes Numériques
5. Résultats
6. Conclusion

The background consists of two large, overlapping geometric shapes. A teal-colored shape is in the upper-left corner, and a light gray shape is in the lower-left corner. The rest of the page is white. The word "Introduction" is centered in the white area.

Introduction

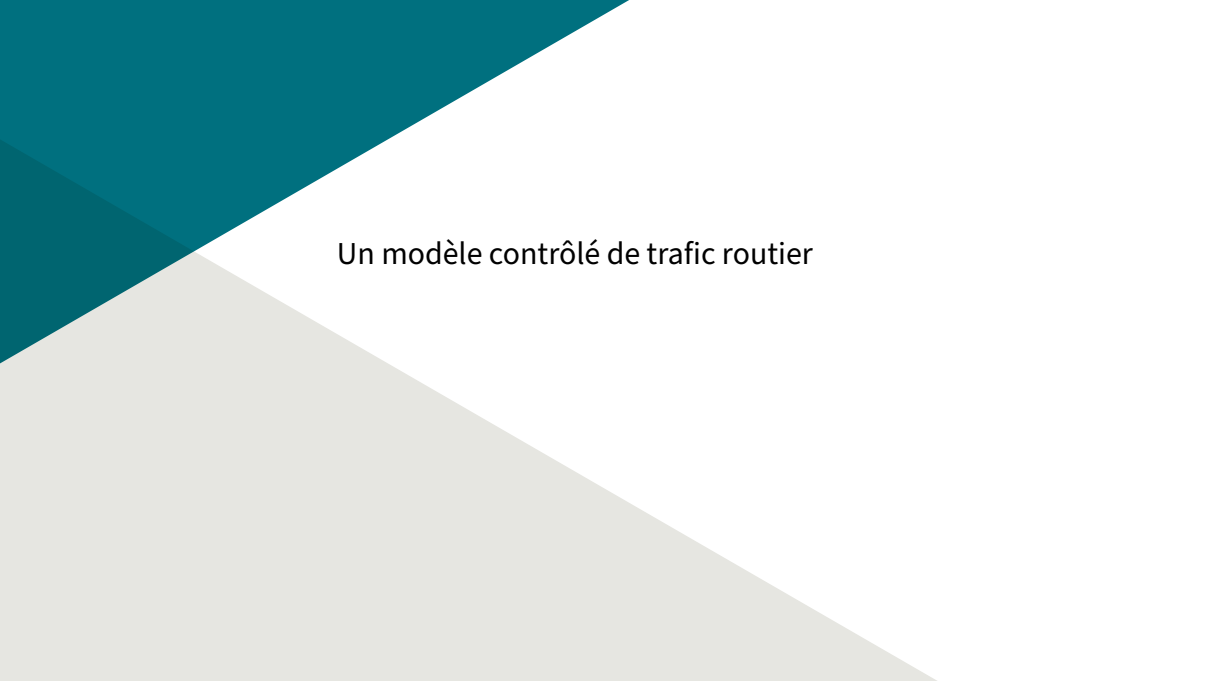
Travaux réalisés avec : Yannick Privat, Emmanuel Franck, Laurent Navoret

- ▶ Outil d'aide à la décision : gestion de crise en milieu urbain impliquant trafic routier
- ▶ Besoin de prédire rapidement la circulation pour organiser opérations de secours
- ▶ Approche similaire à [Benedetto Piccoli Gabrielle Bretti Roberto Natalini. "A Fluid-Dynamic Traffic Model on Road Networks". In: *Archives of Computational Methods in Engineering* (2007)] : modèle hydrodynamique (**contrôlé**) sur graphe orienté, problèmes aux jonctions
- ▶ Plusieurs approches de contrôle dans la littérature : voiture de guidage, **blocages aux intersections**,...

Travaux réalisés avec : Yannick Privat, Emmanuel Franck, Laurent Navoret

- ▶ Outil d'aide à la décision : gestion de crise en milieu urbain impliquant trafic routier
- ▶ Besoin de prédire rapidement la circulation pour organiser opérations de secours
- ▶ Approche similaire à [Benedetto Piccoli Gabrielle Bretti Roberto Natalini. "A Fluid-Dynamic Traffic Model on Road Networks". In: Archives of Computational Methods in Engineering (2007)] : modèle hydrodynamique (**contrôlé**) sur graphe orienté, problèmes aux jonctions
- ▶ Plusieurs approches de contrôle dans la littérature : voiture de guidage, **blocages aux intersections**,...

En utilisant comme contrôle la mise en place de barrages routiers aux carrefours, comment libérer un itinéraire d'évacuation pour un temps final donné ?

The background consists of two large, overlapping geometric shapes. A teal-colored shape is in the upper-left corner, and a light gray shape is in the lower-left corner. The rest of the background is white. The text is centered in the white area.

Un modèle contrôlé de trafic routier

Un modèle contrôlé de trafic routier

Modèle fluide contrôlé aux arêtes

- ▶ Modèle fluide standard (Lighthill-Whitham-Richards, 1955)
- ▶ Répartition des flux aux jonctions couple les arêtes de façon **non-linéaire** (Neumann)
- ▶ Contrôle "barrière" aux entrées des routes pondère la capacité d'accueil de véhicules

Un modèle contrôlé de trafic routier

Modèle fluide contrôlé aux arêtes

- ▶ Modèle fluide standard (Lighthill-Whitham-Richards, 1955)
- ▶ Répartition des flux aux jonctions couple les arêtes de façon **non-linéaire** (Neumann)
- ▶ Contrôle "barrière" aux entrées des routes pondère la capacité d'accueil de véhicules

Évolution sur une route $[a_i, b_i]$ de la densité ρ_i soumise au contrôle \mathbf{u} :

$$\begin{cases} \partial_t \rho_i(t, x) + \partial_x f_i(\rho_i(t, x)) = 0, & (t, x) \in (0, T) \times [a_i, b_i], \\ \rho_i(0, x) = \rho_i^0(x), & x \in [a_i, b_i], \\ f_i(\rho_i(t, a_i)) = \gamma_i^L(t, \rho(t), \mathbf{u}(t)), & t \in (0, T), \\ f_i(\rho_i(t, b_i)) = \gamma_i^R(t, \rho(t), \mathbf{u}(t)), & t \in (0, T), \end{cases}$$

γ^L et γ^R : solutions de la programmation linéaire, ρ^0 : condition initiale

Un modèle contrôlé de trafic routier

Modèle fluide contrôlé aux arêtes

- ▶ Modèle fluide standard (Lighthill-Whitham-Richards, 1955)
- ▶ Répartition des flux aux jonctions couple les arêtes de façon **non-linéaire** (Neumann)
- ▶ Contrôle "barrière" aux entrées des routes pondère la capacité d'accueil de véhicules

Après discrétisation par volumes finis, l'inconnue numérique $\hat{\rho}$ satisfait :

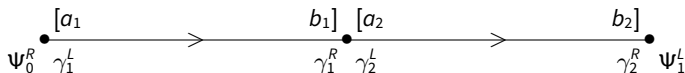
$$\begin{cases} \frac{d\hat{\rho}}{dt} = f^{FV}(\hat{\rho}, \gamma), & t \in (0, T) \\ \gamma = \phi^{LP}(\hat{\rho}, \mathbf{u}), & t \in (0, T) \\ \hat{\rho}(0) = \rho_0, \end{cases}$$

f^{FV} flux VF, ϕ^{LP} programmations linéaires aux jonctions.

Un modèle contrôlé de trafic routier

Programmation linéaire contrôlée aux jonctions

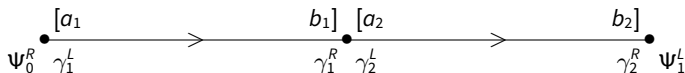
- ▶ Densité indéterminée aux jonctions \rightarrow conditions aux limites de type Neumann
 - ▶ $\gamma_i^R(t) := f_i(\rho_i(t, b_i))$ flux **sortant** de la route i ,
 - ▶ $\gamma_j^L(t) := f_j(\rho_j(t, a_j))$ flux **entrant** à la route j .
 - ▶ Ψ_K : flux cellules fantômes



Un modèle contrôlé de trafic routier

Programmation linéaire contrôlée aux jonctions

- ▶ Densité indéterminée aux jonctions \rightarrow conditions aux limites de type Neumann
 - ▶ $\gamma_i^R(t) := f_i(\rho_i(t, b_i))$ flux **sortant** de la route i ,
 - ▶ $\gamma_j^L(t) := f_j(\rho_j(t, a_j))$ flux **entrant** à la route j .
 - ▶ Ψ_K : flux cellules fantômes

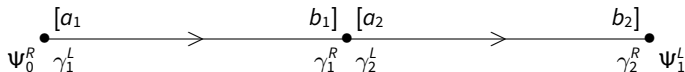


- ▶ **Conservation du flux** : $\sum_{i=1}^n \gamma_i^R(t) = \sum_{j=n+1}^{n+m} \gamma_j^L(t)$

Un modèle contrôlé de trafic routier

Programmation linéaire contrôlée aux jonctions

- ▶ Densité indéterminée aux jonctions → conditions aux limites de type Neumann
 - ▶ $\gamma_i^R(t) := f_i(\rho_i(t, b_i))$ flux **sortant** de la route i ,
 - ▶ $\gamma_j^L(t) := f_j(\rho_j(t, a_j))$ flux **entrant** à la route j .
 - ▶ Ψ_K : flux cellules fantômes



- ▶ **Conservation du flux** :
$$\sum_{i=1}^n \gamma_i^R(t) = \sum_{j=n+1}^{n+m} \gamma_j^L(t)$$

- ▶ **Répartition des flux** : $A := (\alpha_{ji})_{\substack{n+1 \leq j \leq n+m \\ 1 \leq i \leq n}}$, $0 < \alpha_{ji} < 1$, $\sum_{j=n+1}^{n+m} \alpha_{ji} = 1$ tel que $\gamma^L = A\gamma^R$.

NB : α_{ji} est le pourcentage des véhicules venant de i allant vers j

Un modèle contrôlé de trafic routier

Programmation linéaire contrôlée aux jonctions

- ▶ Capacités max des routes dépendent de la densité : $\gamma_i^{R,\max}(\rho_i), \gamma_j^{L,\max}(\rho_j)$

Problème de programmation linéaire

On résout à chaque jonction et à chaque pas de temps :

$$(\mathcal{P}_{LP}) : \max_{\gamma^R \in \Omega_u} \mathbf{1} \cdot \gamma^R$$

avec $\mathbf{1} = (1, \dots, 1) \in \mathbb{R}^n$

Un modèle contrôlé de trafic routier

Programmation linéaire contrôlée aux jonctions

- ▶ Capacités max des routes dépendent de la densité : $\gamma_i^{R,\max}(\rho_i), \gamma_j^{L,\max}(\rho_j)$
- ▶ Contraintes :

Problème de programmation linéaire

On résout à chaque jonction et à chaque pas de temps :

$$(\mathcal{P}_{LP}) : \max_{\gamma^R \in \Omega_u} \mathbf{1} \cdot \gamma^R$$

avec $\mathbf{1} = (1, \dots, 1) \in \mathbb{R}^n$

Un modèle contrôlé de trafic routier

Programmation linéaire contrôlée aux jonctions

- ▶ Capacités max des routes dépendent de la densité : $\gamma_i^{R,\max}(\rho_i), \gamma_j^{L,\max}(\rho_j)$
- ▶ Contraintes :
 - ▶ $\gamma_i^R \in \Omega_i = [0, \gamma_i^{R,\max}], 1 \leq i \leq n$

Problème de programmation linéaire

On résout à chaque jonction et à chaque pas de temps :

$$(\mathcal{P}_{LP}) : \max_{\gamma^R \in \Omega_u} \mathbf{1} \cdot \gamma^R$$

avec $\mathbf{1} = (1, \dots, 1) \in \mathbb{R}^n$

Un modèle contrôlé de trafic routier

Programmation linéaire contrôlée aux jonctions

- ▶ Capacités max des routes dépendent de la densité : $\gamma_i^{R,\max}(\rho_i), \gamma_j^{L,\max}(\rho_j)$
- ▶ Contraintes :
 - ▶ $\gamma_i^R \in \Omega_i = [0, \gamma_i^{R,\max}], 1 \leq i \leq n$
 - ▶ $\gamma_j^L \in \Omega_j^u = [0, (1 - u_j)\gamma_j^{L,\max}], n + 1 \leq j \leq n + m$

Problème de programmation linéaire

On résout à chaque jonction et à chaque pas de temps :

$$(\mathcal{P}_{LP}) : \max_{\gamma^R \in \Omega_u} \mathbf{1} \cdot \gamma^R$$

avec $\mathbf{1} = (1, \dots, 1) \in \mathbb{R}^n$

Un modèle contrôlé de trafic routier

Programmation linéaire contrôlée aux jonctions

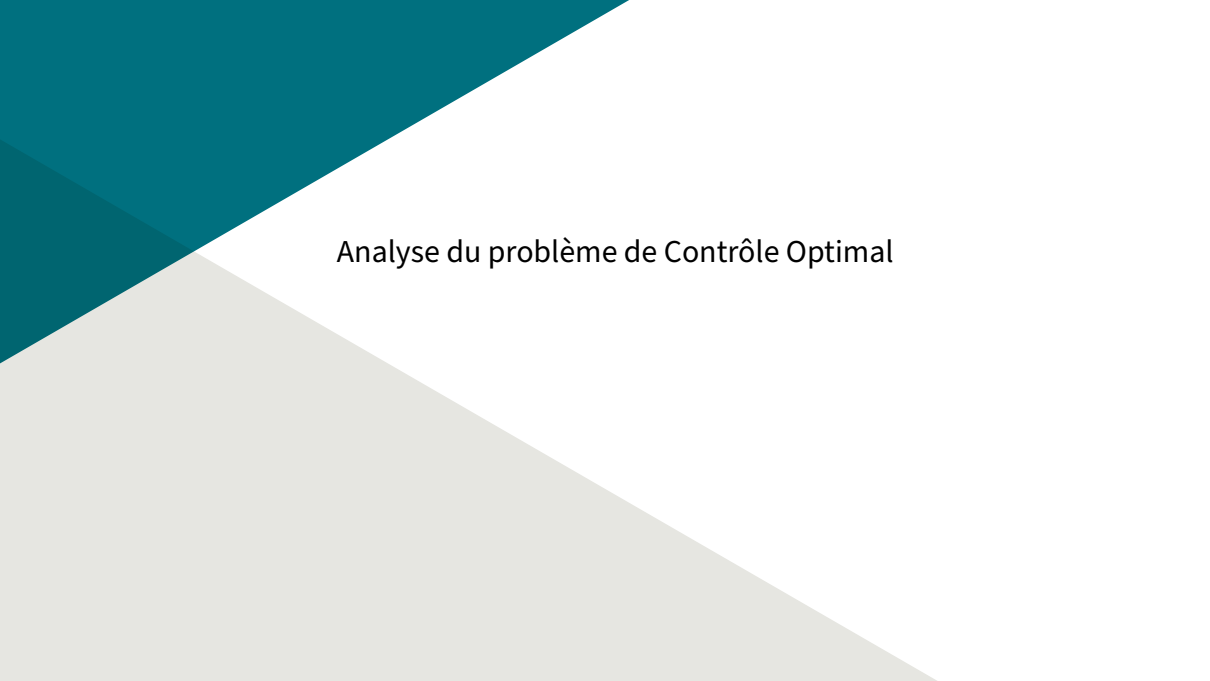
- ▶ Capacités max des routes dépendent de la densité : $\gamma_i^{R,\max}(\rho_i), \gamma_j^{L,\max}(\rho_j)$
- ▶ Contraintes :
 - ▶ $\gamma_i^R \in \Omega_i = [0, \gamma_i^{R,\max}], 1 \leq i \leq n$
 - ▶ $\gamma_j^L \in \Omega_j^u = [0, (1 - u_j)\gamma_j^{L,\max}], n + 1 \leq j \leq n + m$
- ▶ $\Omega_u = \left\{ \gamma \in \prod_{i=1}^n \Omega_i \mid A\gamma \in \prod_{j=n+1}^{n+m} \Omega_j^u \right\}$

Problème de programmation linéaire

On résout à chaque jonction et à chaque pas de temps :

$$(\mathcal{P}_{LP}) : \max_{\gamma^R \in \Omega_u} \mathbf{1} \cdot \gamma^R$$

avec $\mathbf{1} = (1, \dots, 1) \in \mathbb{R}^n$

The background consists of two large, overlapping geometric shapes. A teal-colored shape is in the upper-left corner, and a light gray shape is in the lower-left corner. The rest of the background is white. The text is centered in the white area.

Analyse du problème de Contrôle Optimal

Analyse du problème de Contrôle Optimal

Énoncé du problème

Question :

*En utilisant comme contrôle la mise en place de barrages routiers aux carrefours, comment libérer un **chemin d'évacuation** pour un temps final donné ?*

Analyse du problème de Contrôle Optimal

Énoncé du problème

Question :

En utilisant comme contrôle la mise en place de barrages routiers aux carrefours, comment libérer un **chemin d'évacuation** pour un temps final donné ?

Formulation mathématique :

On cherche à minimiser la fonction suivante :

$$\mathbf{u} \mapsto \sum_{i \in \text{path}} \int_{a_i}^{b_i} \rho_i(T, x; \mathbf{u}) dx$$

Analyse du problème de Contrôle Optimal

Énoncé du problème

Question :

En utilisant comme contrôle la mise en place de barrages routiers aux carrefours, comment libérer un **chemin d'évacuation** pour un temps final donné ?

Formulation mathématique :

On cherche à minimiser la fonction suivante :

$$\mathbf{u} \mapsto \sum_{i \in \text{path}} \int_{a_i}^{b_i} \rho_i(T, x; \mathbf{u}) dx$$

Version discrète :

On est amené à résoudre numériquement le problème suivant :

$$(\mathcal{P}_{ctrl}) : \min_{\substack{\mathbf{u} \in L^\infty(0, T, \mathcal{U}) \\ TV(\mathbf{u}) \leq K}} J(\mathbf{u}) = \sum_{i \in \text{path}} \hat{\rho}_i(T; \mathbf{u}) = \mathbf{c} \cdot \hat{\rho}_T$$

où : $K \in \mathbb{R}$, $\mathcal{U} = \{\mathbf{u} \in \mathbb{R}^N; 0 \leq u_i \leq 1\}$ et $c_i = 1$ pour tout $i \in \text{path}$

Analyse du problème de Contrôle Optimal

Calcul du gradient

On souhaite calculer $\nabla J(\mathbf{u})$ mais...

- ▶ Fonctionnelle dépendant de \mathbf{u} de façon **très implicite**
(borne supérieure d'un problème LP donnant une condition de Neumann pour la densité ρ)
- ▶ On ne peut pas calculer la dérivée directement : introduction d'un **état adjoint**

Analyse du problème de Contrôle Optimal

Calcul du gradient

On souhaite calculer $\nabla J(\mathbf{u})$ mais...

- ▶ Fonctionnelle dépendant de \mathbf{u} de façon **très implicite**
(borne supérieure d'un problème LP donnant une condition de Neumann pour la densité ρ)
- ▶ On ne peut pas calculer la dérivée directement : introduction d'un **état adjoint**

Théorème

J est Gateaux-différentiable et son gradient est donné pour tout $\mathbf{u} \in L^\infty(0, T, \mathcal{U})$ par :

$$\nabla J(\mathbf{u}) = N^T \mathbf{p},$$

- ▶ \mathbf{p} est l'état adjoint solution de :

$$\begin{cases} \mathbf{p}' + M^T \mathbf{p} = 0, \\ \mathbf{p}(T) = \mathbf{c}, \end{cases}$$

- ▶ M et N sont les matrices suivantes :

$$\begin{cases} M = (\partial_\rho f^{FV}) + (\partial_\gamma f^{FV})(\partial_\rho \phi^{LP}), \\ N = (\partial_\gamma f^{FV})(\partial_\mathbf{u} \phi^{LP}). \end{cases}$$

Définition : directions admissibles

On dit que \mathbf{h} est une **perturbation admissible** de $\mathbf{u} \in \mathcal{U}$ si $\exists \varepsilon > 0; \mathbf{u} + \varepsilon \mathbf{h} \in \mathcal{U}$,
i.e. $\exists \varepsilon > 0; 0 \leq u_i + \varepsilon h_i \leq 1$.

- ▶ Sur l'ensemble $I_0 := \{u_i \equiv 0\}$, on doit avoir $h_i \geq 0$,
- ▶ Sur l'ensemble $I_1 := \{u_i \equiv 1\}$, on doit avoir $h_i \leq 0$,
- ▶ Sur l'ensemble $I_* := \{0 < u_i < 1\}$, tout h_i convient tant que ε assez petit.

Proposition : conditions d'optimalité

Soit \mathbf{u}^* un minimiseur local de J . Alors on a :

$$\nabla J(\mathbf{u}^*)_i \geq 0, \quad \text{p.p. sur } I_0,$$

$$\nabla J(\mathbf{u}^*)_i \leq 0, \quad \text{p.p. sur } I_1,$$

$$\nabla J(\mathbf{u}^*)_i = 0, \quad \text{p.p. sur } I_*,$$

Définition : directions admissibles

On dit que \mathbf{h} est une **perturbation admissible** de $\mathbf{u} \in \mathcal{U}$ si $\exists \varepsilon > 0; \mathbf{u} + \varepsilon \mathbf{h} \in \mathcal{U}$,
i.e. $\exists \varepsilon > 0; 0 \leq u_i + \varepsilon h_i \leq 1$.

- ▶ Sur l'ensemble $I_0 := \{u_i \equiv 0\}$, on doit avoir $h_i \geq 0$,
- ▶ Sur l'ensemble $I_1 := \{u_i \equiv 1\}$, on doit avoir $h_i \leq 0$,
- ▶ Sur l'ensemble $I_* := \{0 < u_i < 1\}$, tout h_i convient tant que ε assez petit.

Proposition : vérification pratique des conditions d'optimalité

On introduit pour chaque \mathbf{u}^* la fonction suivante :

$$\Lambda(t) = \min \{ \mathbf{u}^*(t), \max \{ \mathbf{u}^*(t) - 1, \nabla J(\mathbf{u}^*)(t) \} \},$$

on a la propriété suivante :

$$\mathbf{u}^* \text{ est un minimum local} \Leftrightarrow \Lambda = 0 \text{ p.p.}$$

Théorème : existence d'un contrôle optimal

Le problème de contrôle optimal

$$(\mathcal{P}_{ctrl}) : \min_{\substack{\mathbf{u} \in L^\infty(0, T, \mathcal{U}) \\ TV(\mathbf{u}) \leq K}} J(\mathbf{u})$$

admet au moins une solution \mathbf{u}_* , qui est à variations bornées (uniformément). La densité correspondante ρ_* est bornée dans $\mathcal{W}^{1, \infty}$.

Idée de la preuve :

- ▶ méthode directe du calcul des variations (suite minimisante, CV faible, ...)
- ▶ Théorème d'Areza-Ascoli

NB : l'existence et l'unicité d'un état ρ dans \mathcal{BV} est démontrée dans la littérature. Dans la version semi-discrète qui nous intéresse, la diffusivité entraîne même $\rho \in \mathcal{W}^{1, \infty}$.

Méthodes Numériques

Algorithme : Descente de gradient projetée

- Problème direct

$$(\boldsymbol{\rho}^{k+1}, \gamma^{k+1}) \leftarrow \text{solution de } \begin{cases} \boldsymbol{\rho}' = f^{FV}(\boldsymbol{\rho}, \gamma) \\ \gamma = \phi(\boldsymbol{\rho}, \mathbf{u}^k) \\ \boldsymbol{\rho}(0) = \boldsymbol{\rho}^0 \end{cases}$$

- Problème adjoint

$$\mathbf{p} \leftarrow \text{solution de } \begin{cases} \mathbf{p}'(t) + M_{(\boldsymbol{\rho}^{k+1}, \gamma^{k+1})}^T \mathbf{p} = \mathbf{0} \\ \mathbf{p}(T) = \mathbf{c} \end{cases}$$

- Descente

$$\tilde{\mathbf{u}}^{k+1} \leftarrow \mathbf{u}^k - \delta^k \nabla J(\mathbf{u}^k)$$

- Projection

$$\mathbf{u}^{k+1} \leftarrow \pi_{[0,1]}(\tilde{\mathbf{u}}^{k+1})$$

Algorithme : méthode de point-fixe

- ▶ Problème direct

$$(\boldsymbol{\rho}^{k+1}, \gamma^{k+1}) \leftarrow \text{solution de } \begin{cases} \boldsymbol{\rho}' = f^{FV}(\boldsymbol{\rho}, \gamma) \\ \gamma = \phi(\boldsymbol{\rho}, \mathbf{u}^k) \\ \boldsymbol{\rho}(0) = \boldsymbol{\rho}^0 \end{cases}$$

- ▶ Problème adjoint

$$\mathbf{p} \leftarrow \text{solution de } \begin{cases} \mathbf{p}'(t) + M_{(\boldsymbol{\rho}^{k+1}, \gamma^{k+1})}^T \mathbf{p} = \mathbf{0} \\ \mathbf{p}(T) = \mathbf{c} \end{cases}$$

- ▶ Point-fixe

$$\mathbf{u}^{k+1} \leftarrow \mathbb{1}_{\{\nabla J(\mathbf{u}^k) \leq 0\}}$$

Rappel : on a $\nabla J(\mathbf{u})_i \leq 0$ p.p. sur $I_1 = \{u_i \equiv 1\}$.

Algorithme : méthode hybride GDFP

- Problème direct

$$(\boldsymbol{\rho}^{k+1}, \gamma^{k+1}) \leftarrow \text{solution de } \begin{cases} \boldsymbol{\rho}' = f^{FV}(\boldsymbol{\rho}, \gamma) \\ \gamma = \phi(\boldsymbol{\rho}, \mathbf{u}^k) \\ \boldsymbol{\rho}(0) = \boldsymbol{\rho}^0 \end{cases}$$

- Problème adjoint

$$\mathbf{p} \leftarrow \text{solution de } \begin{cases} \mathbf{p}'(t) + M_{(\boldsymbol{\rho}^{k+1}, \gamma^{k+1})}^T \mathbf{p} = \mathbf{0} \\ \mathbf{p}(T) = \mathbf{c} \end{cases}$$

- Si $k\%10 = 0$ alors
Point-fixe

$$\mathbf{u}^{k+1} \leftarrow \mathbb{1}_{\{\nabla J(\mathbf{u}^k) \leq 0\}}$$

Sinon

Gradient projeté

$$\mathbf{u}^{k+1} \leftarrow \pi_{[0,1]} \left(\mathbf{u}^k - \delta^k \nabla J(\mathbf{u}^k) \right)$$

The background consists of two large, overlapping geometric shapes. A teal-colored shape is in the upper-left corner, and a light gray shape is in the lower-left corner. The rest of the page is white.

Résultats

Résultats

Présentation du cas test

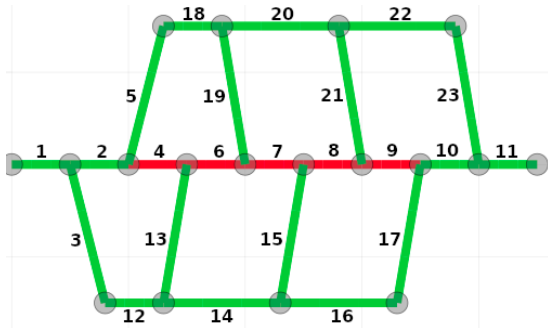
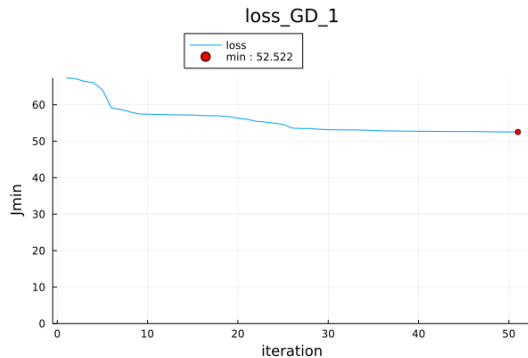
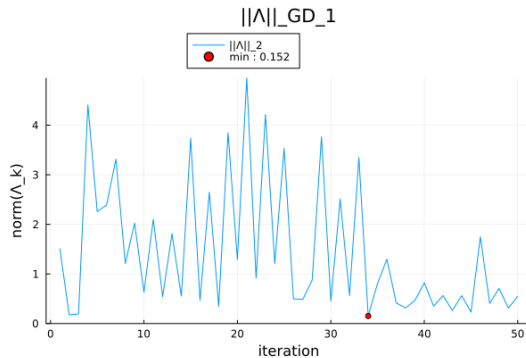


Figure 1: Graphe à trois voies

- ▶ les arêtes vont de gauche à droite
- ▶ tendance à saturer la voie centrale (celle que l'on veut évacuer)
- ▶ paramètres : $T = 30$, $N_c = 15$ mailles par arête



(a) loss history

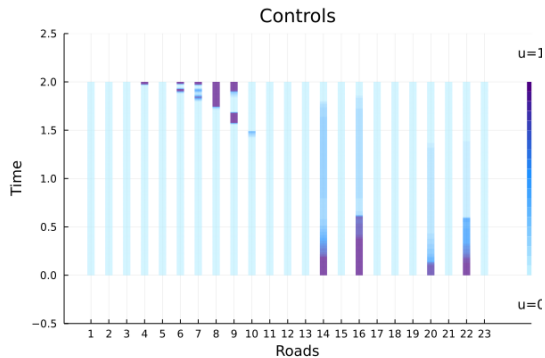


(b) optimality history

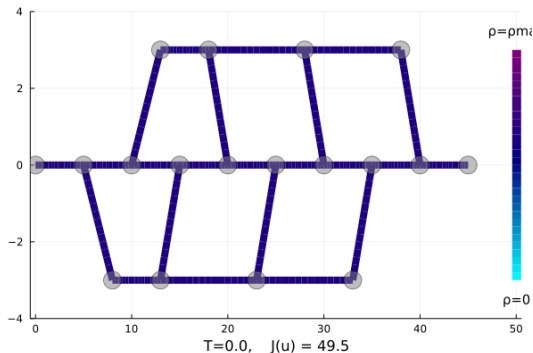
Figure 2: Gradient projeté : convergence

Résultats

Gradient projeté



(a) control

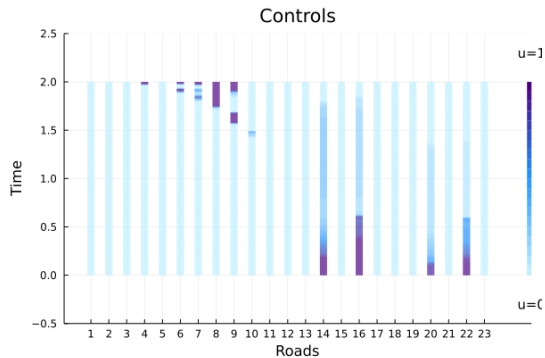


(b) density

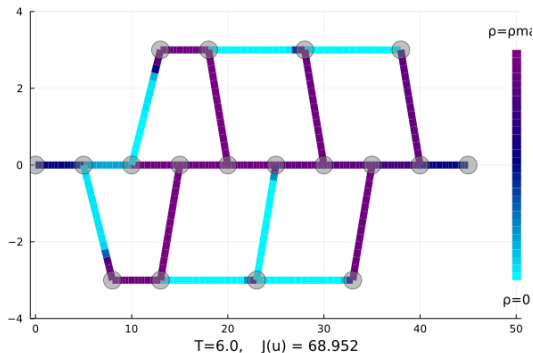
Figure 2: Gradient projeté : contrôle et densité associée

Résultats

Gradient projeté



(a) control

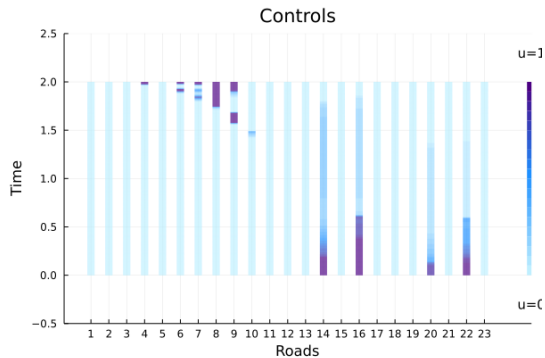


(b) density

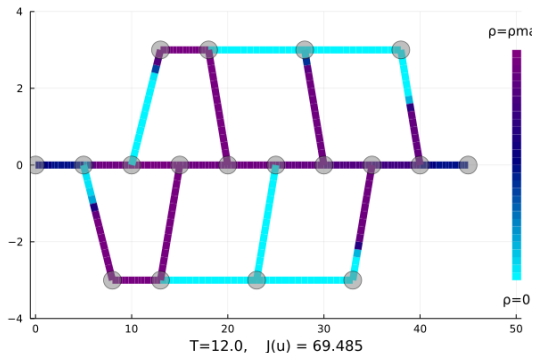
Figure 2: Gradient projeté : contrôle et densité associée

Résultats

Gradient projeté



(a) control

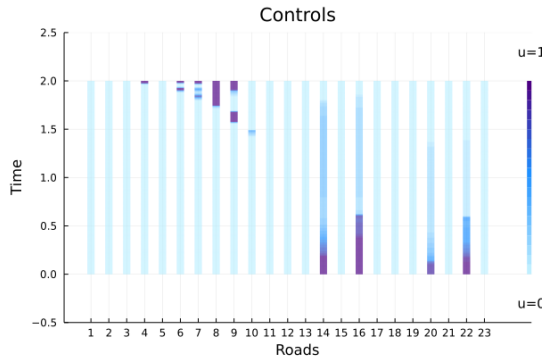


(b) density

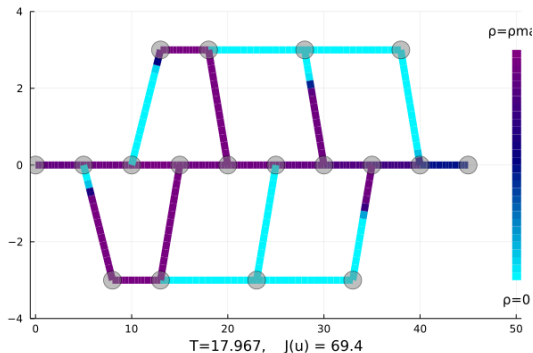
Figure 2: Gradient projeté : contrôle et densité associée

Résultats

Gradient projeté



(a) control

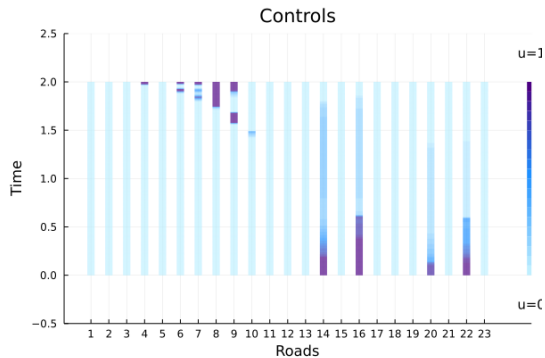


(b) density

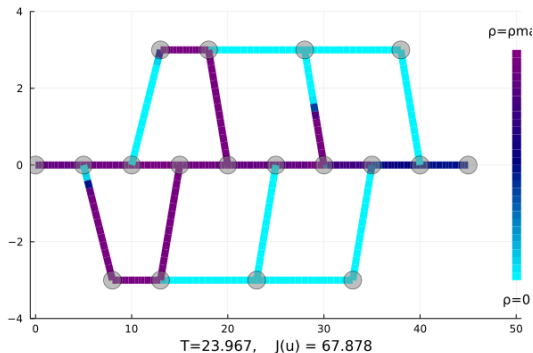
Figure 2: Gradient projeté : contrôle et densité associée

Résultats

Gradient projeté



(a) control

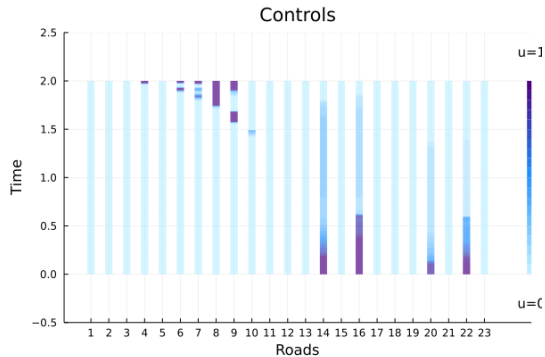


(b) density

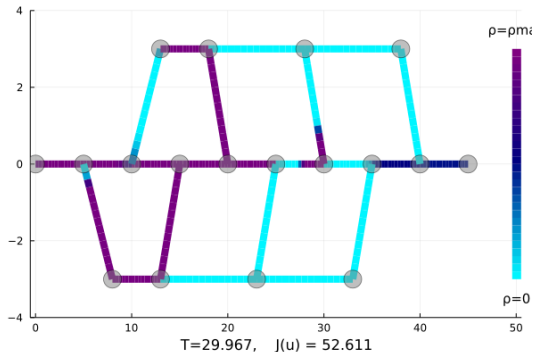
Figure 2: Gradient projeté : contrôle et densité associée

Résultats

Gradient projeté

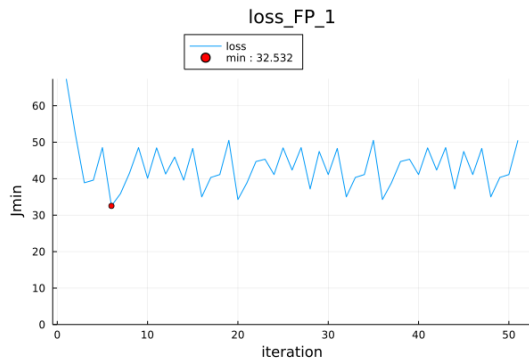


(a) control

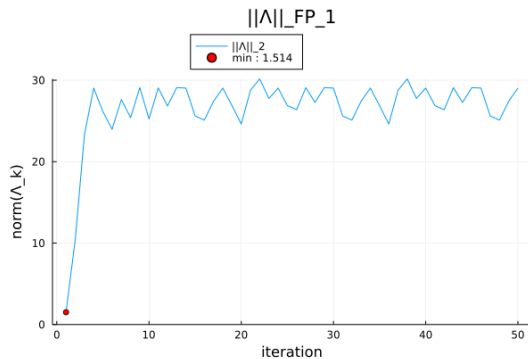


(b) density

Figure 2: Gradient projeté : contrôle et densité associée

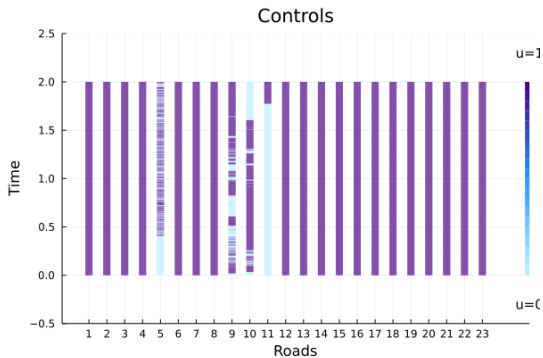


(a) loss history

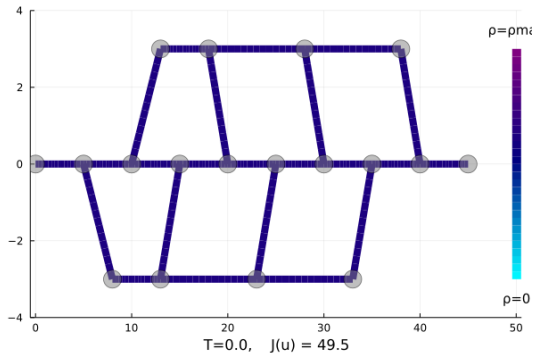


(b) optimality history

Figure 3: Point fixe : convergence

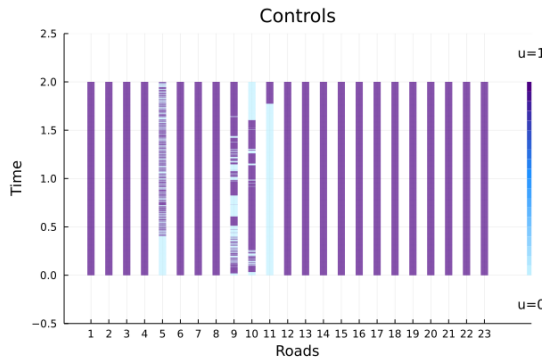


(a) control

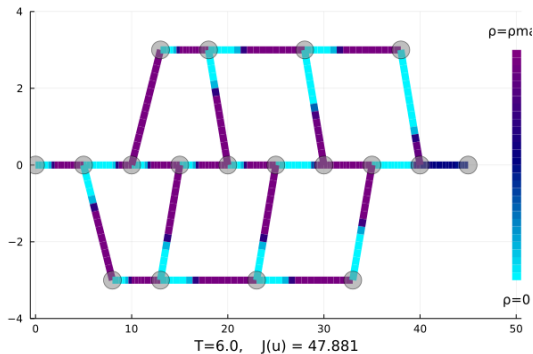


(b) density

Figure 3: Point fixe : contrôle et densité associée

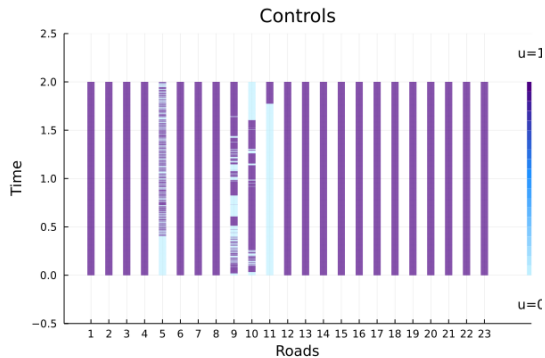


(a) control

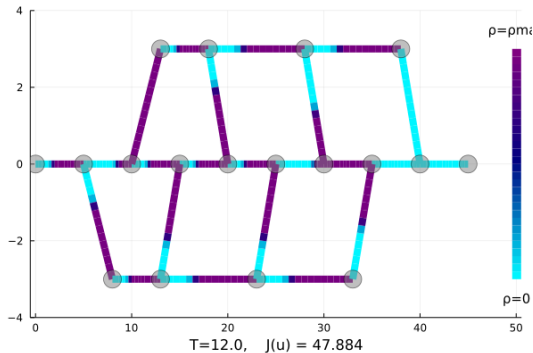


(b) density

Figure 3: Point fixe : contrôle et densité associée

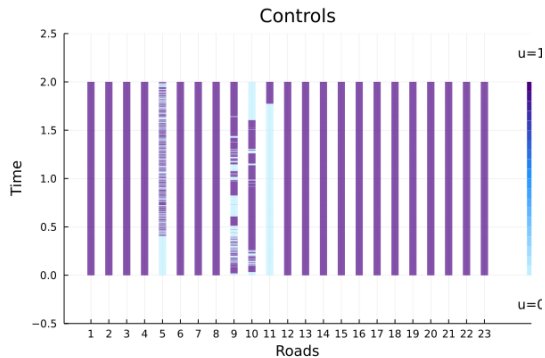


(a) control

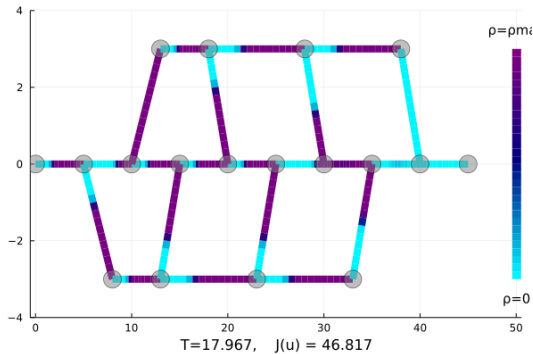


(b) density

Figure 3: Point fixe : contrôle et densité associée

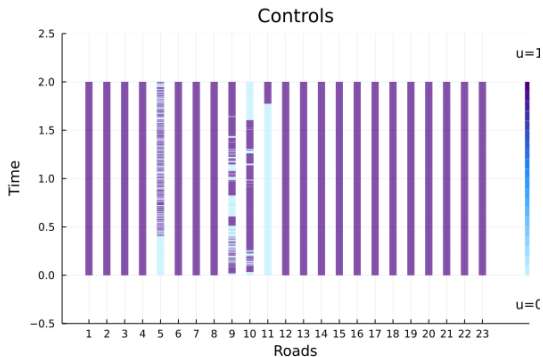


(a) control

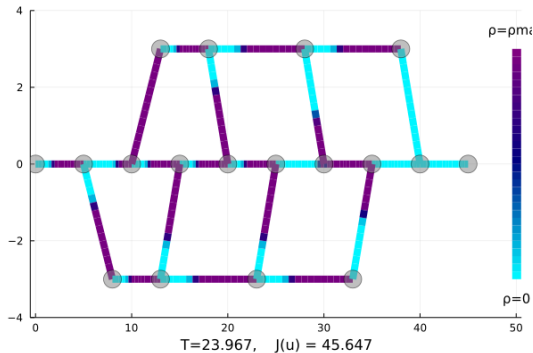


(b) density

Figure 3: Point fixe : contrôle et densité associée

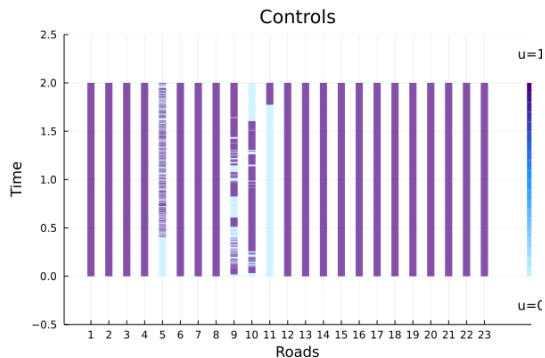


(a) control

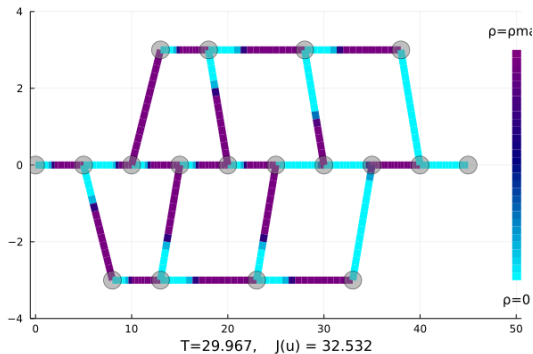


(b) density

Figure 3: Point fixe : contrôle et densité associée

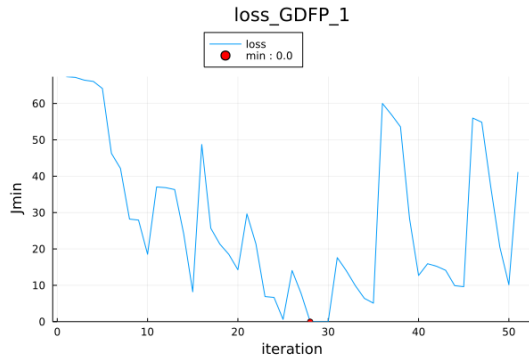


(a) control

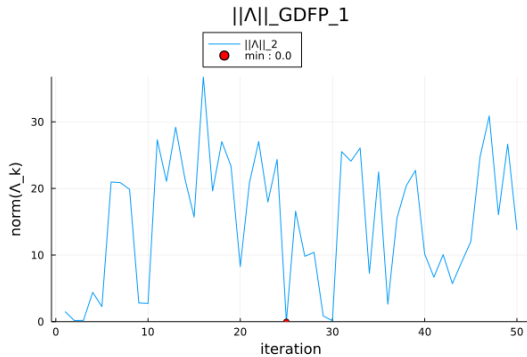


(b) density

Figure 3: Point fixe : contrôle et densité associée

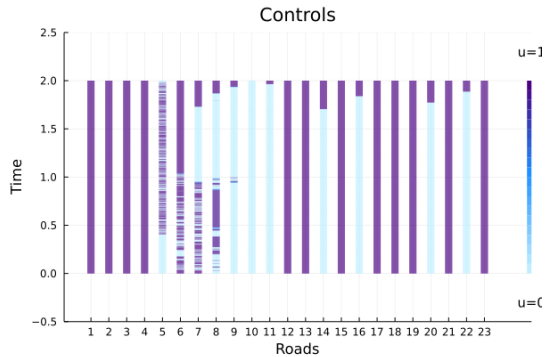


(a) loss history

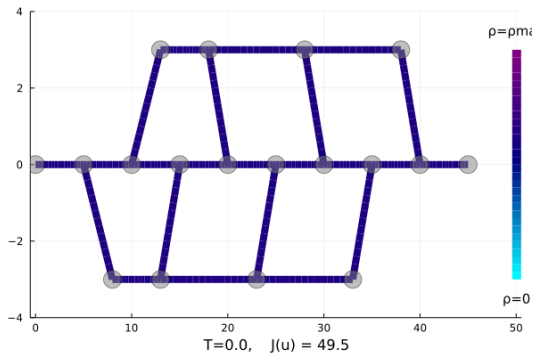


(b) optimality history

Figure 4: Hybride : convergence

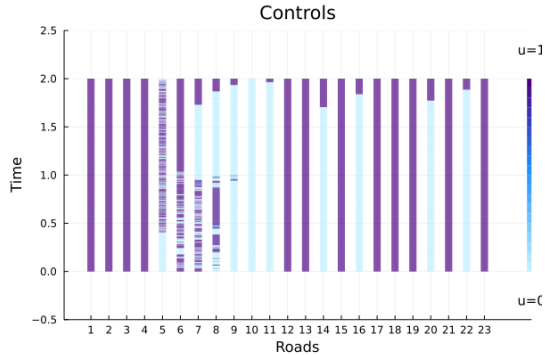


(a) control

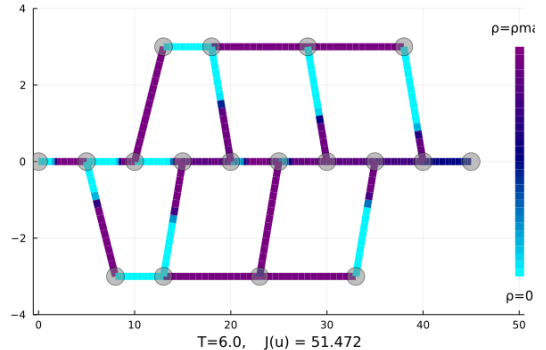


(b) density

Figure 4: Hybride : contrôle et densité associée

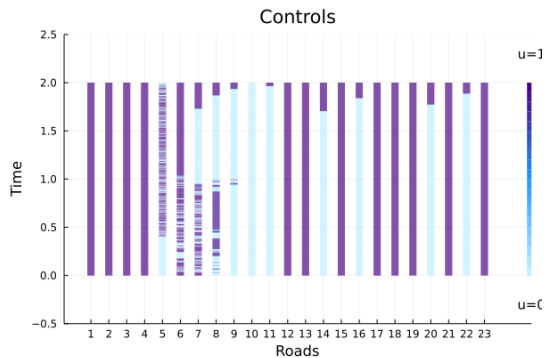


(a) control

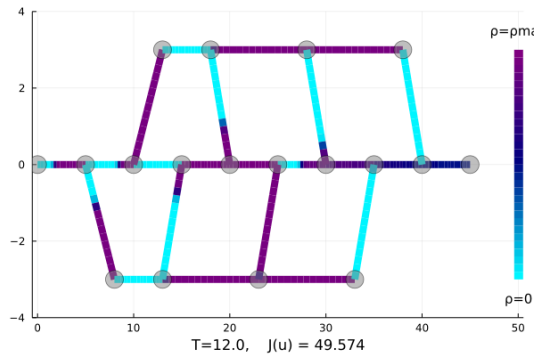


(b) density

Figure 4: Hybride : contrôle et densité associée

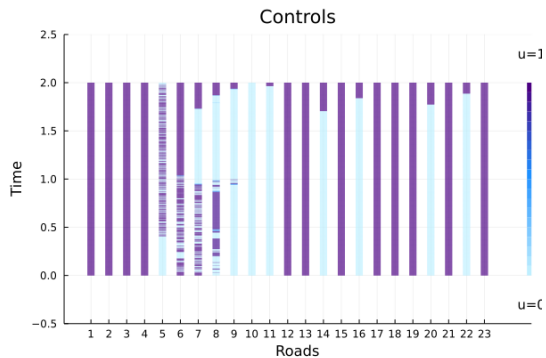


(a) control

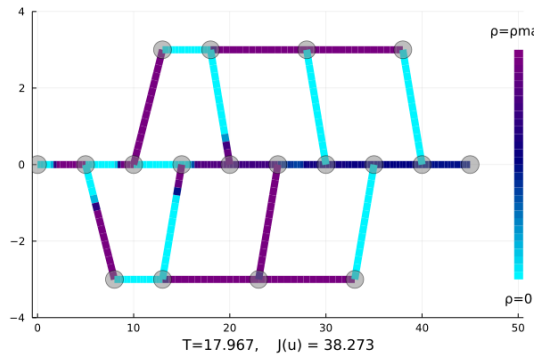


(b) density

Figure 4: Hybride : contrôle et densité associée

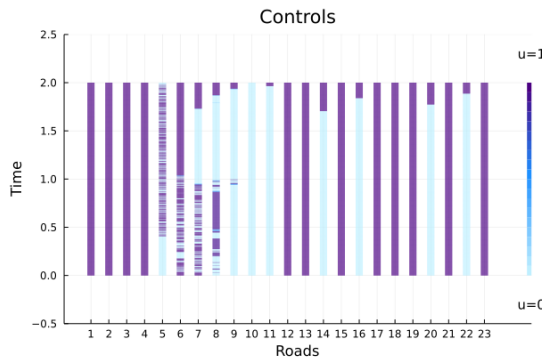


(a) control

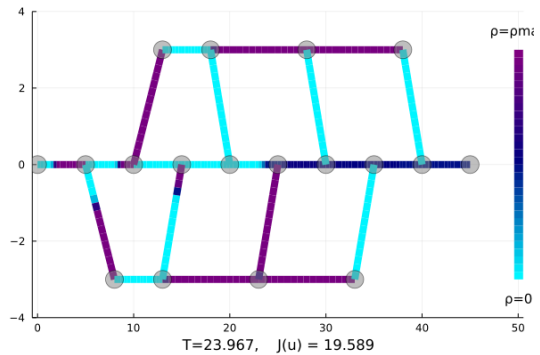


(b) density

Figure 4: Hybride : contrôle et densité associée

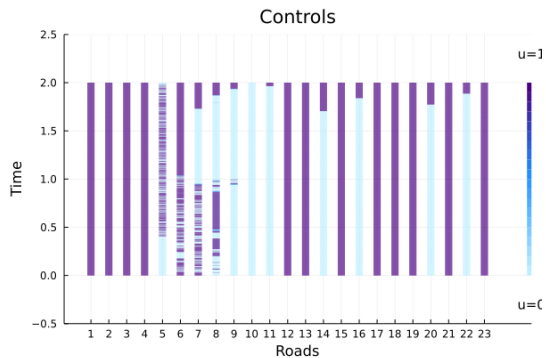


(a) control

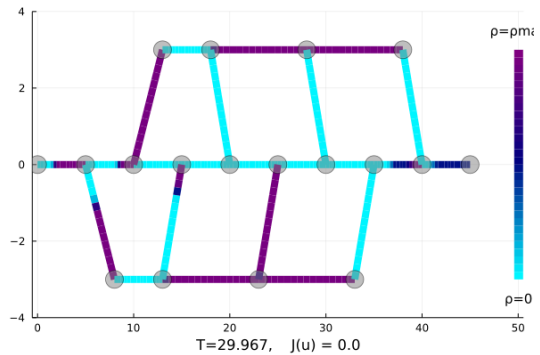


(b) density

Figure 4: Hybride : contrôle et densité associée



(a) control



(b) density

Figure 4: Hybride : contrôle et densité associée

The background consists of two large, overlapping geometric shapes. A teal-colored shape is in the upper-left corner, and a light gray shape is in the lower-left corner. The rest of the page is white. The word "Conclusion" is centered in the white area.

Conclusion

Conclusion

- ▶ Résultats numériques et théoriques

Conclusion

- ▶ Résultats numériques et théoriques
- ▶ Dans un cas général (tous types d'écoulement, c.f. [M. Gugat et al. "Optimal Control for Traffic Flow Networks". In: *Journal of Optimization Theory and Applications* 126 (2005)])

Conclusion

- ▶ Résultats numériques et théoriques
- ▶ Dans un cas général (tous types d'écoulement, c.f. [M. Gugat et al. "Optimal Control for Traffic Flow Networks". In: *Journal of Optimization Theory and Applications* 126 (2005)])
- ▶ Cas tests plus complexes à traiter

Conclusion

- ▶ Résultats numériques et théoriques
- ▶ Dans un cas général (tous types d'écoulement, c.f. [M. Gugat et al. "Optimal Control for Traffic Flow Networks". In: *Journal of Optimization Theory and Applications* 126 (2005)])
- ▶ Cas tests plus complexes à traiter
 - ▶ graphe plus grand

Conclusion

- ▶ Résultats numériques et théoriques
- ▶ Dans un cas général (tous types d'écoulement, c.f. [M. Gugat et al. "Optimal Control for Traffic Flow Networks". In: *Journal of Optimization Theory and Applications* 126 (2005)])
- ▶ Cas tests plus complexes à traiter
 - ▶ graphe plus grand
 - ▶ gestion de l'effectif des barrages (dynamique, probabiliste,...)

Conclusion

- ▶ Résultats numériques et théoriques
- ▶ Dans un cas général (tous types d'écoulement, c.f. [M. Gugat et al. "Optimal Control for Traffic Flow Networks".
In: *Journal of Optimization Theory and Applications* 126 (2005)])
- ▶ Cas tests plus complexes à traiter
 - ▶ graphe plus grand
 - ▶ gestion de l'effectif des barrages (dynamique, probabiliste,...)
- ▶ Gain possibles en temps de calculs

Conclusion

- ▶ Résultats numériques et théoriques
- ▶ Dans un cas général (tous types d'écoulement, c.f. [M. Gugat et al. "Optimal Control for Traffic Flow Networks". In: *Journal of Optimization Theory and Applications* 126 (2005)])
- ▶ Cas tests plus complexes à traiter
 - ▶ graphe plus grand
 - ▶ gestion de l'effectif des barrages (dynamique, probabiliste,...)
- ▶ Gain possibles en temps de calculs
 - ▶ traiter beaucoup plus de mailles (idéalement une centaine)

Conclusion

- ▶ Résultats numériques et théoriques
- ▶ Dans un cas général (tous types d'écoulement, c.f. [M. Gugat et al. "Optimal Control for Traffic Flow Networks". In: *Journal of Optimization Theory and Applications* 126 (2005)])
- ▶ Cas tests plus complexes à traiter
 - ▶ graphe plus grand
 - ▶ gestion de l'effectif des barrages (dynamique, probabiliste,...)
- ▶ Gain possibles en temps de calculs
 - ▶ traiter beaucoup plus de mailles (idéalement une centaine)
 - ▶ paralléliser

Conclusion

- ▶ Résultats numériques et théoriques
- ▶ Dans un cas général (tous types d'écoulement, c.f. [M. Gugat et al. "Optimal Control for Traffic Flow Networks".
In: *Journal of Optimization Theory and Applications* 126 (2005)])
- ▶ Cas tests plus complexes à traiter
 - ▶ graphe plus grand
 - ▶ gestion de l'effectif des barrages (dynamique, probabiliste,...)
- ▶ Gain possibles en temps de calculs
 - ▶ traiter beaucoup plus de mailles (idéalement une centaine)
 - ▶ paralléliser

Conclusion

- ▶ Résultats numériques et théoriques
- ▶ Dans un cas général (tous types d'écoulement, c.f. [M. Gugat et al. "Optimal Control for Traffic Flow Networks". In: *Journal of Optimization Theory and Applications* 126 (2005)])
- ▶ Cas tests plus complexes à traiter
 - ▶ graphe plus grand
 - ▶ gestion de l'effectif des barrages (dynamique, probabiliste,...)
- ▶ Gain possibles en temps de calculs
 - ▶ traiter beaucoup plus de mailles (idéalement une centaine)
 - ▶ paralléliser

Merci pour votre attention !